

傅里叶光学中的等效源光场分析方法

丁剑平 叶叔书

(南京大学物理系)

在相干光处理系统中,任一平面上的光场分布可由其前一平面上的光场计算得到.两平面间是自由空间时,为非涅耳积分运算;如是透镜或透射掩模,则为乘积运算.为简化运算,A. Vander Lugt 于 1966 年提出 q 函数法^[1],它已被目前通用教科书^[2,3]采用. 1980 年后, J. Shamir 等人提出算子法^[4,5],对前法作了改进.但计算仍需逐面进行,繁冗的数学运算往往使物理概念被忽视了.本文提出的等效源光场分析方法,物理概念清晰,从物理图像分析物理结果,有助于简化运算.

一、等效源光场

当两平面 S_1, S_2 之间为自由空间时,后一平面光场 S_2 可由前一平面光场 S_1 通过非涅耳积分计算给出,我们称 S_1 为 S_2 的源光场.由于非涅耳积分可以逆溯,因此从 S_2 亦可逆溯得到 S_1 .在此意义上, S_2 可称为 S_1 的源光场.因而, S_1, S_2 互为源光场.

当 S_1, S_2 间还有其它物(例如透镜、掩模)时,由 S_2 按自由空间逆溯所得的不再是原有的 S_1 光场,而是另一光场 S'_1 . S'_1 是 S_1 的等效光场,即假定 S_1 与 S_2 之间为自由空间时, S_1 处应有的光场.我们称 S'_1, S_2 互为等效源光场.显然当 S_1, S_2 间为自由空间时, S'_1 即 S_1 .

用波长为 λ 的相干会聚光 q_{-d} 照明 S_1 平面上的掩模 t (图 1),在会聚点所在平面 S_2 上所得的光场分布,将是 t 的傅里叶变换 $T_{\lambda d}$ 与发散光 q_d 的乘积[见本文附录中的(4),(8)式].略去常数因子后,简写为

$$S_2 = q_{-d} \cdot t = e^{-i\frac{k}{2d}(x^2+y^2)} \cdot t(x, y), \quad (1)$$

$$S_2 = q_d \otimes S_1 = q_d \cdot T_{\lambda d} = e^{i\frac{k}{2d}(x^2+y^2)} \cdot T\left(\frac{x}{\lambda d}, \frac{y}{\lambda d}\right), \quad (2)$$

其中 $k = 2\pi/\lambda$, \otimes 为卷积符号.

这一对等效源光场间具有以下关系:(1)以二次位相因子 q_{-d}, q_d 分别表示的近轴会聚、发散球面波,曲率半径为 d ,凹面相对.(2) $T_{\lambda d}$ 为 t 定标傅氏变换,定标因子为 $\frac{1}{\lambda d}$.我们称满足以上条件的光场分布 S_1, S_2 为一对等效

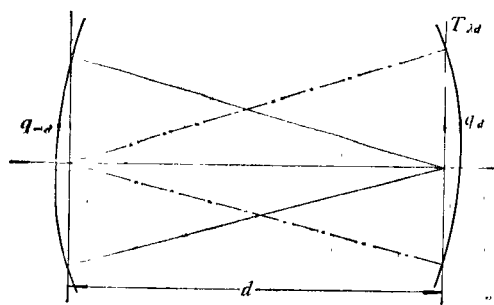


图 1 会聚波照明下的等效 FT 源光场

FT 源光场 (FT 表示傅氏变换).

图 2 是等效 FT 源光场的另一情形. S_1 面上的点光源 δ , 照明距离 d 处的 S_2 面上掩模 t [图 2(a)], 这时,

$$S_1 = \delta(x, y), \quad (3)$$

$$S_2 = q_d \cdot t = e^{i\frac{k}{2d}(x^2+y^2)} \cdot t(x, y). \quad (4)$$

由 S_2 逆溯到 S_1 面上的等效光场 S'_1 [见附录中的(8)式]

$$S'_1 = q_{-d} \otimes S_2 = q_{-d} \cdot T_{-\lambda d} = e^{-i\frac{k}{2d}(x^2+y^2)} \cdot T\left(\frac{x}{-\lambda d}, \frac{y}{-\lambda d}\right). \quad (5)$$

图 2(b) 说明了 S'_1 和 S_2 之间的关系. 定标因子

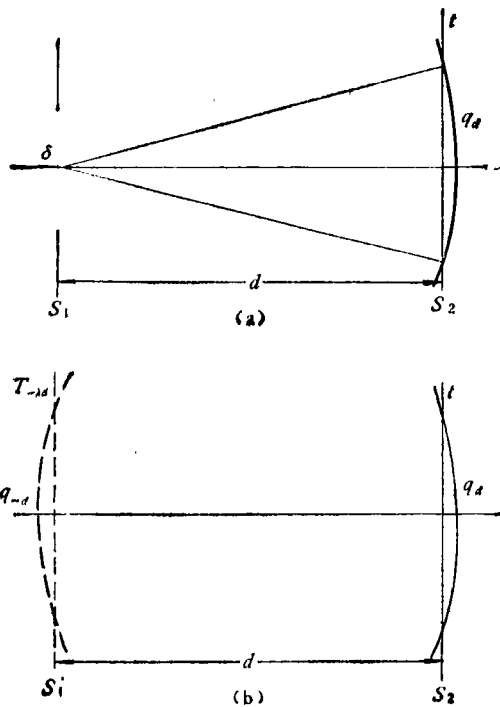


图 2

- (a) 发散球面波照明;
- (b) 对应于图 2(a) 的等效 FT 源光场

为 $\frac{1}{-\lambda d}$, 负号来自逆溯. S_1' 并非真实光场, 在图 2(b) 中以虚线表示. S_1' 和 S_2 满足等效 FT 源光场的条件, 因它们也是一对等效 FT 源光场.

二、透镜对等效源光场的作用

图 3(a) 中透镜(焦距为 F) 前 S_1 面上有点光源 δ , 其后 d_1 处 S_1' 面上有透射掩模 t . 图 3(b) 中以 S_1' 代替图 3(a) 中的 S_1 , 参照 (4), (5) 两式, 有

$$S_1' = q_{-d_1} \cdot T \left(-\frac{x}{\lambda d_1}, -\frac{y}{\lambda d_1} \right), \quad (6)$$

$$S_1^* = q_{d_1} \cdot t(x, y). \quad (7)$$

透镜后 S_2', S_2^* 分别与 S_1', S_1^* 共轭, 可以证明[见附录中的 (15) 式], S_2', S_2^* 分别为

$$S_2' = q_{-d_2} T' \left(-\frac{x}{\lambda d_2}, -\frac{y}{\lambda d_2} \right), \quad (8)$$

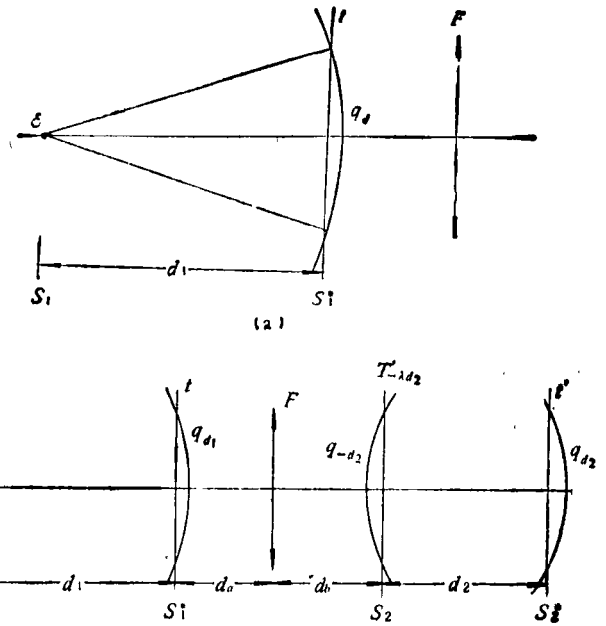


图 3

- (a) 发散球面波照明的单透镜系统;
- (b) 透镜对等效源光场的作用

$$S_2^* = q_{d_2} t'(x, y). \quad (9)$$

以上各式均略去了常数因子. t', T' 分别是 t 的像, 可按几何光学求得. T' 是 t' 的傅里叶变换, 显然 S_2' 与 S_2^* 构成一对等效 FT 源光场. 图 3 给出的是光源 δ , 物 t 在正透镜前的情况. 实际上对负透镜以及 δ, t 在其它位置时, 均能证明以上关系仍然成立.

以上不仅给出了 S_2' 和 S_2^* 面应与 S_1', S_1^* 面共轭的证明, 即给出了相干光处理系统中频谱面和输出面(成像面)应分别与光源平面和输入面(物平面)共轭的证明, 而且重要的是还证明了频谱面和输出面(像平面)上的光场构成一对等效 FT 源光场. 根据这些特性, 不仅能定出频谱面和输出面的位置, 而且还能定出该两平面光场的 q 因子和傅氏变换定标因子. 也就是说, 只要根据几何光学方法和等效 FT 源光场的特性, 就能直接写出频谱面和输出面的光场分布, 而不需要逐面进行计算. 至于其它平面上的光场, 则可根据等效 FT 源光场自由传播或逆溯获得.

三、用等效源光场分析方法对相干光处理系统作物理分析

等效源光场分析方法的最大特点在于其鲜明的物理性，常能在正式计算前即能预见物理结果，以下举例说明。

相干光处理系统中，通常在频谱面上虽能得到物的傅氏频谱，但与之并存的还有二次位相因子 q 。只有在特定条件下，才能去掉 q 因子。根据等效源光场特性，当频谱面 S_2^* 与输出面 S_3^* 相距无穷远时，与 q 因子对应的近轴球面波将退化为平面波， q 因子变为 1。可以让光源面 S_1 ，输出面 S_3^* 分别位于无穷远处。与其共轭的物平面 S_1^* 和频谱面将分别位于透镜的前后焦平面上。这就是熟知的以平行光照明位于前焦面上的物，在后焦面上得到严格的傅氏频谱的光路。也可以用点光源照明位于透镜前焦面上的物，此时与 z 共轭的输出 S_3^* 位于无穷远处，而频谱 S_2^* 仍在透镜后有限距离内。这样， S_2^* ， S_3^* 间距仍为无穷大，同样能消除频谱面 S_2^* 上的 q 因子，得到严格的傅氏变换。还可以用向薄透镜中心会聚的球面波照明位于透镜前焦面上的物，此时频谱面与透镜面重合，输出面在无穷远，在紧贴透镜的后表面上得到消除 q 因子的严格傅氏变换。

在设计相干光处理系统时，常需要精确计算频谱面所在处的光场。例如，匹配滤波必须使滤波器的大小与物的频谱相匹配，这里关键参数是傅氏变换的定标因子。在本文附录中证明了当频谱面光场 S 表示为 z' （输入 z 的像）的傅氏变换时，此定标因子为 $\left(\frac{-1}{\lambda d}\right)$ ， d 为 S 面到 z' 面的距离；当 S 表示为输入 z 的傅氏变换时，尚须计入 z' 对 z 的放大倍数。以上均不难由几何光学成像关系确定，不需要如通用教科书^[2,3]中介绍的那样逐面进行计算。

以上结论尚可推广到多个透镜情形。例如，点光源 δ 与其共轭面 S 间可有 $k+1$ 个透镜，物 z 与其共轭面 S^* 间有 k 个透镜（见图 4）。

物理

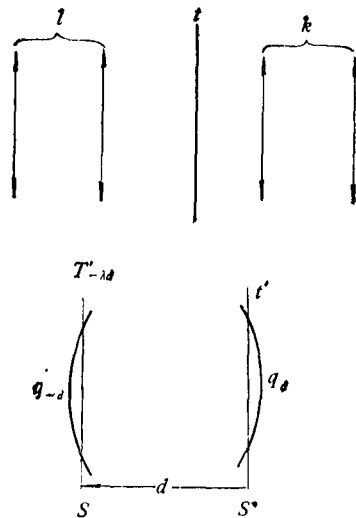


图 4 多透镜系统中的等效 FT 源光场

也可由几何光学成像关系定出 S 面和 S^* 面位置，间距 d 以及 z' 对 z 的放大倍数。当 S 面表示为 z' 的傅氏变换时，定标因子为 $\frac{-1}{\lambda d}$ ；当 S 面表示为输入 z 的傅氏变换时，同样亦需计入 z 经 k 个透镜成像 z' 的放大倍数，这样分析可避免用菲涅耳公式逐面进行计算，简化了运算过程。

四、用等效源光场分析太伯效应

以相干光照射平面周期性物，在物后方远处平面上会产生自成象现象，称为太伯效应。从等效源光场观点来解释太伯效应，物理图像清晰，数学计算简捷。

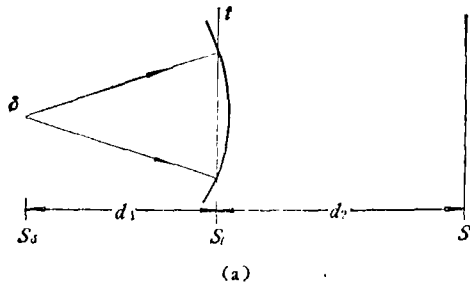
图 5(a) 中，点光源 δ 照明一平面周期性物 z 。为简单起见，设 z 为一维周期性物，周期为 b ，则 z 总可展开为傅里叶级数

$$z(x, y) = \sum_{n=-\infty}^{\infty} a_n \exp(j2\pi nx/b). \quad (10)$$

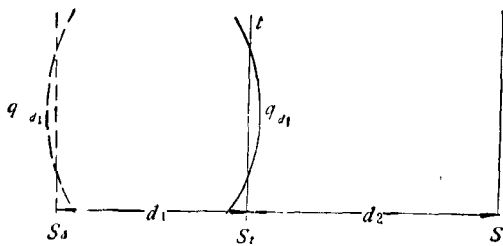
z 的傅氏变换 $T(\xi, \eta)$ 为

$$T(\xi, \eta) = \mathcal{F}\{z(x, y)\} \\ = \sum_{n=-\infty}^{\infty} a_n \delta\left(\xi - \frac{n}{b}\right) \delta(\eta). \quad (11)$$

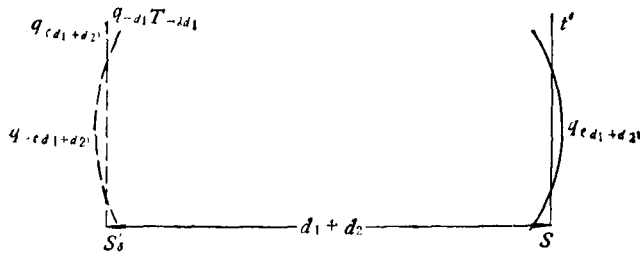
由前面的结论可知， δ 平面上的等效源光场为



(a) 点光源照明周期性物体



(b) 图 5(a) 的等效图



(c) 人为地构成一对等效 FT 源光场

图 5

[见图 5(b)]

$$S'_0 = q_{-d_1} \cdot T_{-\lambda d_1} \quad (12)$$

考虑 z 后任一平面 S , 为了计算 S 面上的光场, 可以将 S'_0 人为地提取出一个二次位相因子 $q_{-(d_1+d_2)}$,

$$S'_0 = q_{-(d_1+d_2)} [q_{(d_1+d_2)} q_{-d_1} T_{-\lambda d_1}] \quad (13)$$

S'_0 与 S 构成一对等效 FT 源光场[图 5(c)], 即

$$S = q_{(d_1+d_2)} \mathcal{F} \left\{ q_{(d_1+d_2)} q_{-d_1} \cdot T_{-\lambda d_1} \right\} \Big|_{\frac{1}{\lambda(d_1+d_2)}} \quad (14)$$

要在 S 面上得到自成像 z , 必须让 (14) 式大括号中的 q 因子消失, 这一般是不可能的。但是当 z 是周期性物时, 其频谱是一系列离散的

δ 函数(见 (11) 式), 当符合一定条件时, 该 q 因子在这些 δ 函数所在位置取值为 1, 这样即可自成像 ($q_{(d_1+d_2)}$ 对强度无贡献)。自成像条件推导如下: 由 (14) 式可写成

$$S = q_{(d_1+d_2)} \mathcal{F} \left\{ \sum_{n=-\infty}^{\infty} a_n \delta \left(\frac{\xi}{\lambda d_1} - \frac{n}{b} \right) \cdot \delta \left(\frac{n}{\lambda d_1} \right) \exp \left[j \frac{\pi}{\lambda} \left(\frac{1}{d_1+d_2} - \frac{1}{d_1} \right) \left(\frac{\lambda d_1 n}{b} \right)^2 \right] \right\} \Big|_{\frac{1}{\lambda(d_1+d_2)}} \quad (15)$$

显然当 $\frac{\pi}{\lambda} \left(\frac{1}{d_1+d_2} - \frac{1}{d_1} \right) \left(\frac{\lambda d_1 n}{b} \right)^2 = 2l\pi$ (l 为整数) 时, 上式大括号中的二次位相因子消失, 故得自成像条件

$$\frac{1}{d_1} + \frac{1}{d_2} = \frac{\lambda}{2lb^2} \quad (16)$$

注意满足 (16) 式条件的 S 面不止一个, 这些 S 面可以分别与 S'_0 面 (光源 δ 所在平面) 构成等效 FT 源光场。当用平面波照明时, $d_1 \rightarrow \infty$, $= d_2 \frac{2lb^2}{\lambda}$, 即在周期性物后方周期为 $\frac{2b^2}{\lambda}$ 的距离上自成像。

等效源光场分析方法的特点是能将复杂的菲涅耳衍射问题分解为 q 因子和 FT 变换分别考虑。前者对应于近轴球面波传播, 可利用简单的几何光学成像关系, 后者则可利用傅氏变换的丰富知识, 这样在许多情形下可以不作计算, 就可通过物理图像推求物理结果。

对高文琦副教授给予的指导以及周进同志提出的有益建议表示感谢。

附录 等效源光场的数学证明

为简化推导, 采用 q 函数、二维定标符号 \mathcal{F} 及二维卷积符号 \otimes

1. 定义

$$q_d = q \left(x, y; \frac{1}{\lambda d} \right) = e^{j \frac{\lambda}{2d} (x^2+y^2)} = e^{j \frac{\pi}{\lambda d} (x^2+y^2)}, \quad (1)$$

$$\mathcal{F}(a)f(x, y) = f(ax, ay), \quad (2)$$

$$f(x, y) \otimes g(x, y) = \iint f(x-x', y-y') \cdot g(x', y') dx' dy' \quad (3)$$

菲涅耳积分

$$\frac{\exp(ikd)}{j\lambda d} \iint \exp\left\{j \frac{k}{2d} [(x-x')^2 + (y-y')^2]\right\} \cdot f(x, y) dx' dy' = \frac{e^{jkd}}{j\lambda d} q_d \otimes f(x, y) \quad (4)$$

2. 性质

$$\mathcal{F}(S) q_a = q_{a/S} \mathcal{F}(S) = q\left(x, y; \frac{S^2}{d}\right) \mathcal{F}(S) \quad (5)$$

$$q_{d_1} \cdot q_{d_2} = q\left(x, y; \frac{1}{d_1} + \frac{1}{d_2}\right) \quad (6)$$

$$q_d \otimes q_{-d} = (\lambda d)^2 \delta(x, y) \quad (7)$$

$$q_d \otimes [q_{-d} \otimes f(x, y)] = q_d \mathcal{F}\left(\frac{1}{\lambda d}\right) F(x, y) \quad (8)$$

$F(x, y)$ 为 $f(x, y)$ 的二维傅氏变换。

$$\begin{cases} \frac{1}{d_1} + \frac{1}{d_2} + \frac{1}{d_3} = 0 \\ q_{d_1} \otimes \{q_{d_2} [q_{d_3} \otimes f(x, y)]\} \\ = (\lambda d_1)^2 q\left(x, y; \frac{d_1 + d_2}{d_3^2}\right) \\ \times \mathcal{F}\left(-\frac{d_1}{d_3}\right) f(x, y). \end{cases} \quad (9)$$

3. 焦距为 F 的透镜前后的共轭平面光场间的关系

$$\frac{1}{d_1} + \frac{1}{d_2} = \frac{1}{F} \quad (10)$$

略去常数因子, 由(4), (9)式得

$$\begin{aligned} S_2 &= q_{d_2} [q_{-F} (q_{d_1} \otimes S_1)] \\ &= q\left(x, y; \frac{d_1 + d_2}{d_2^2}\right) \mathcal{F}\left(-\frac{d_1}{d_2}\right) S_1. \end{aligned} \quad (11)$$

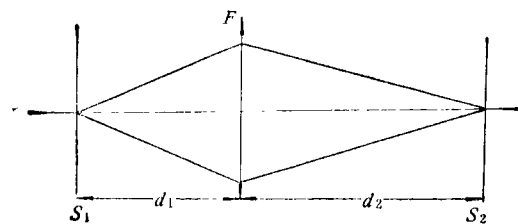


图6 透镜对光场的共轭变换

4. 透镜前后等效 FT 源光场间的关系 [见图 3(b)].

$$\begin{cases} S'_1 = q_{-d_1} \cdot \mathcal{F}\left(-\frac{1}{\lambda d_1}\right) T, \\ S_2^* = q_{d_1} \cdot t, \end{cases} \quad (12)$$

由(5), (11)式可得

$$\begin{cases} S'_2 = q\left(x, y; \frac{d_1 + d_a + d_b}{d_b^2}\right) \cdot \mathcal{F}\left(-\frac{d_1 + d_a}{d_b}\right) S'_1 \\ = q\left(x, y; \frac{d_1 + d_a + d_b}{d_b^2}\right) q\left(x, y; \frac{-(d_1 + d_a)^2}{d_1 d_b^2}\right) \times \mathcal{F}\left(-\frac{d_1 + d_a}{d_b}\right) \\ \cdot \mathcal{F}\left(-\frac{1}{\lambda d_1}\right) T, \\ S_2^* = q\left(x, y; \frac{d_2 + d_a + d_b}{(d_b + d_2)^2}\right) \cdot \mathcal{F}\left(-\frac{d_a}{d_2 + d_b}\right) S_1^* \\ = q\left(x, y; \frac{d_2 + d_a + d_b}{(d_b + d_2)^2}\right) \\ \cdot q\left(x, y; \frac{d_a^2}{d_1 (d_2 + d_b)^2}\right) \\ \cdot \mathcal{F}\left(-\frac{d_a}{d_2 + d_b}\right) t. \end{cases} \quad (13)$$

根据几何光学关系,

$$\frac{d_1 + d_a}{d_b} = \frac{F}{d_b - F}, \quad \frac{d_a}{d_b + d_2} = \frac{F}{d_b + d_2 - F},$$

因而

$$\begin{aligned} \frac{d_1}{d_2} &= \frac{F^2}{(d_b - F)(d_b + d_2 - F)}, \\ \frac{d_1 + d_a}{d_1 d_b} &= \frac{d_b + d_2}{d_a d_2}. \end{aligned}$$

代入(13)式, 得

$$\begin{cases} S'_2 = q\left(x, y; -\frac{1}{d_2}\right) \cdot \mathcal{F}\left(-\frac{1}{\lambda d_2}\right) \\ \cdot \mathcal{F}\left(-\frac{d_b + d_2}{d_a}\right) T, \\ S_2^* = q\left(x, y; \frac{1}{d_2}\right) \cdot \mathcal{F}\left(-\frac{d_a}{d_b + d_2}\right) t. \end{cases} \quad (14)$$

$t'(x, y) = \mathcal{F}\left(-\frac{d_a}{d_b + d_2}\right) t(x, y)$, 即 t' 的几何像,

则 t' 的傅氏变换为

$$T' = \mathcal{F}\left(-\frac{d_b + d_2}{d_a}\right) T_1(x, y). \quad (15)$$

因此

$$\begin{cases} S_2^* = q_{d_2} \cdot t'(x, y), \\ S'_2 = q_{-d_2} \cdot T_2\left(-\frac{x}{\lambda d_2}, -\frac{y}{\lambda d_2}\right). \end{cases} \quad (16)$$

可见, S_2^* , S'_2 构成一对等效 FT 源光场。

参 考 文 献

- [1] A. Vander Lugt, *Proc. IEEE*, 54(1966), 1055.
- [2] J. D. 加斯基尔著, 封开印译, 线性系统·傅里叶变换·光学, 人民教育出版社, (1981), 360, 409, 448-451.
- [3] R. J. 科利尔等著, 盛尔镇等译, 光全息学, 机械工业出版社, (1983), 116, 120.
- [4] M. Nazarathy, J. Shamir, *J. Opt. Soc. Am.*, 70-2, (1980), 150.
- [5] D. Stoler, *J. Opt. Soc. Am.*, 71-3 (1981), 334.